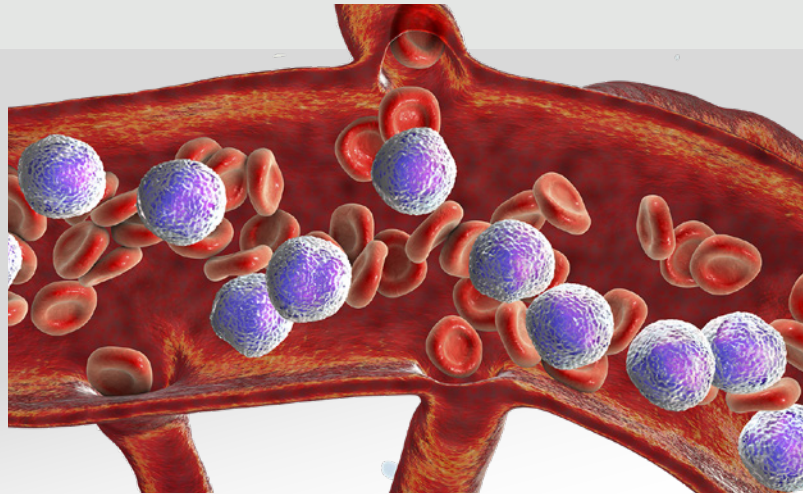




## 3.5 Cancer and Human Molecular Genetics Area



 Publications: **18**  Impact Factor: **143.965**  QI: **15**

## Animal and Cell Models for Detection and Characterization of Leukemic Stem Cells Group

### Research Activity

#### Publications

- Alfranca A, Campanero MR, Redondo JM. New Methods for disease modeling using lentiviral vectors. *Trends Mol Med.* 2018; 24(10) :825-37. Review. IF: 11.028; D1
- Azpilikueta A, Bolanos E, Lang V, Labiano S, Aznar MA, Etxebarria I, Teijeira A, Rodríguez-Ruiz ME, Pérez-Gracia JL, Jure-Kunkel M, Zapata JM, Rodríguez MS, Melero I. Deubiquitinases A20 and CYLD modulate costimulatory signaling via CD137 (4-1BB). *Oncoimmunology.* 2018; 7(1): e1368605. Article. IF: 5.333; Q1
- Bello IF, Jiménez-Yuste V, de Paz R, Salces MM, Sanz RJ, Manzano EM, Arias-Salgado EG, Román MTA, Pollmar MIR, Goyanes I, Butta NV. Factors involved in maintaining haemostasis in patients with myelodysplastic syndrome. *Thromb Haemostas.* 2018; 118(4): 734-44. Article. IF: 4.733; Q1
- Fernández L, Leivas A, Valentín J, Escudero A, Corral D, de Paz R, Vela M, Bueno D, Rodríguez R, Torres JM, Díaz-Almirón M, López-Collazo E, Martínez-López J, Pérez-Martínez A. How do we manufacture clinical-grade interleukin-15-stimulated natural killer cell products for cancer treatment? *Transfusion.* 2018; 58(6): 1340-7. Article. IF: 3.111; Q2
- Font P, Subira D, Matarraz S, Benavente C, Cedena MT, Morado M, Corral AP, Bellón JM, Díez-Martín JL. Multicenter comparison of CD34+myeloid cell count by flow cytometry in low-risk myelodysplastic syndrome. Is it feasible? *Cytom Part B-Clin Cy.* 2018; 94(3): 527-35. Article. IF: 2.938; Q1
- García-Redondo AB, Esteban V, Briones AM, del Campo LSD, González-Amor M, Méndez-Barbero N, Campanero MR, Redondo JM, Salaces M. Regulator of calcineurin 1 modulates vascular contractility and stiffness through the upregulation of COX-2-derived prostanoids. *Pharmacol Res.* 2018; 133: 236-49. Article. IF: 5.574; D1
- Hernández-Boluda JC, Correa JG, Álvarez-Larrán A, Ferrer-Marín F, Raya JM, Martínez-López J, Vélez P, Pérez-Encinas M, Estrada N, García-Gutiérrez V, Fox ML, Luno E, Kerguelen A, Cuevas B, Durán MA, Ramírez MJ, Gómez-Casares M, Mata-Vázquez MI, Regadera A, Pereira A, Cervantes F. Clinical characteristics, prognosis and treatment of myelofibrosis patients with severe thrombocytopenia. *Brit J Haematol.* 2018; 181(3): 397-400. Letter. IF: 5.206; Q1
- Hernández-Boluda JC, Pereira A, Correa JG, Álvarez-Larrán A, Ferrer-Marín F, Raya JM, Martínez-López J, Pérez-Encinas M, Estrada N, Velez P, Fox ML, García-Gutiérrez V, Payer A, Kerguelen A, Cuevas B, Durán MA, Ramírez MJ, Gómez-Casares MT, Mata-Vázquez MI, Mora E, Martínez-Valverde C, Gómez M, Cervantes F. Performance of the myelofibrosis secondary to PV and ET-prognostic model (MYSEC-PM) in a series of 262 patients from the Spanish registry of myelofibrosis. *Leukemia.* 2018; 32(2): 553-5. Letter. IF: 9.944; Q1
- Hernández-Boluda JC, Pereira A, Correa JG, Álvarez-Larrán A, Ferrer-Marín F, Raya JM, Martínez-López J, Velez P, Pérez-Encinas M, Estrada N, García-Gutiérrez V, Fox ML, Payer A, Kerguelen A, Cuevas B, Durán MA, Ramírez MJ, Gómez-Casares MT, Mata-Vázquez MI, Mora E, Gómez M, Cervantes F. Prognostic risk

models for transplant decision-making in myelofibrosis. *Ann Hematol.* 2018; 97(5): 813-20. Article. IF: 2.85; Q3

- Hiddemann W, Barbui AM, Canales MA, Cannell PK, Collins GP, Durig J, Forstpointner R, Herold M, Hertzberg M, Klanova M, Radford J, Seymour JF, Tobinai K, Trotman J, Burciu A, Fingerle-Rowson G, Wolbers M, Nielsen T, Marcus RE. Immunochemotherapy with obinutuzumab or rituximab for previously untreated follicular lymphoma in the GALLIUM study: Influence of chemotherapy on efficacy and safety. *J Clin Oncol.* 2018;3 6(23): 2395-404. Article. IF: 28.245; D1
- Jiménez R, Martín-Cortázar C, Kourani O, Chiodo Y, Córdoba R, Domínguez-Franjo MP, Redondo JM, Iglesias T, Campanero MR. CDCA7 is a critical mediator of lymphomagenesis that selectively regulates anchorage-independent growth. *Haematologica.* 2018; 103(10): 1669-78. Article. IF: 7.57; D1
- Mahon FX, Boquimpani C, Kim DW, Benyamini N, Clementino NCD, Shuvaev V, Ailawadhi S, Lipton JH, Turkina AG, De Paz R, Moiraghi B, Nicolini FE, Dengler J, Sacha T, Takahashi N, Fellague-Chebra R, Acharya S, Wong S, Jin Y, Hughes TP. Treatment-free remission after second-line nilotinib treatment in patients with chronic myeloid leukemia in chronic phase. *Ann Intern Med.* 2018; 168(7): 461-70. Article. IF: 19.315; D1.
- Ramos-Tomillero I, Pérez-Chacón G, Somovilla-Crespo B, Sánchez-Madrid F, Domínguez JM, Cuevas C, Zapata JM, Rodríguez H, Albericio F. Bioconjugation through Mesitylene Thiol Alkylation. *Bioconjugate Chem.* 2018; 29(4): 1199-208. Article. IF: 4.349; Q1
- Sánchez-Jareño M, Jiménez VY, Villasante C, Canales MA, Álvarez-Sala R. A 60-year-old male smoker with chronic obstructive pulmonary disease and hypereosinophilia. *Arch Bronconeumol.* 2018; 54(7): 394-5. Letter. IF: 4.214; Q1
- Sisinni L, Gasior M, de Paz R, Querol S, Bueno D, Fernández L, Marsal J, Sastre A, Gimeno R, Alonso L, Badell I, López-Granados E, Torres J, Medina L, Torrent M, de Heredia CD, Escudero A, Pérez-Martínez A. Unexpected high incidence of human herpesvirus-6 encephalitis after Naive T cell-depleted graft of haploidentical stem cell transplantation in pediatric patients. *Biol Blood Marrow Tr.* 2018; 24(11): 2316-23. Article. IF: 3.599; Q2
- Trneny M, Verhoef G, Dyer MJS, Ben Yehuda D, Patti C, Canales M, López A, Awan FT, Montgomery PG, Janikova A, Barbui AM, Sulek K, Terol MJ, Radford J, Guidetti A, Nicola MDI, Siraudin L, Hatteville L, Schwab S, Oprea C, Gianni AM. A phase II multicenter study of the anti-CD19 antibody drug conjugate coltuximab ravtansine (SAR3419) in patients with relapsed or refractory diffuse large B-cell lymphoma previously treated with rituximab-based immunotherapy. *Haematologica.* 2018; 103(8): 1351-8. Article. IF: 7.57; D1
- Vela M, Corral D, Carrasco P, Fernández L, Valentín J, González B, Escudero A, Balas A, de Paz R, Torres J, Leivas A, Martínez-López J, Pérez-Martínez A. Haploidentical IL-15/41BBL activated and expanded natural killer cell infusion therapy after salvage chemotherapy in children with relapsed and refractory leukemia. *Cancer Lett.* 2018; 422: 107-17. Article. IF: 6.508; Q1
- Villahoz S, Yunes-Leites PS, Méndez-Barbero N, Urso K, Bonzon-Kulichenko E, Ortega S, Nistal JF, Vázquez J, Offermanns S, Redondo JM, Campanero MR. Conditional deletion of Rcan1 predisposes to hypertension-mediated intramural hematoma and subsequent aneurysm and aortic rupture. *Nat Commun.* 2018; 9: 4795. Article. IF: 11.878; D1

## Public projects

**Campanero García MR.** Identificación y evaluación de nuevas dianas terapéuticas en cáncer (SAF2013-45258-P). MINECO. 2014-2018.

Management centre: UAM

## Private projects

**Canales Albendea MA.** Programa para la investigación en neoplasias linfoides. Astellas Pharma S.A. 2008-Ongoing.

Management centre: FIBHULP

**Canales Albendea MA.** Servicios de asesoramiento científico del Dr. Canales para la realización del estudio clínico: Spanish real world evidence on follicular lymphoma. the real study. Roche Farma S.A. 2017-Ongoing.

Management centre: FIBHULP

## Clinical trials

**Canales Albendea MA.** (R-CHP) en comparación con Rituximab y chop (R-CHOP) en pacientes con linfoma difuso de células grandes tipo B no tratado anteriormente. Type: Clinical Trial, phase III.

HULP code: Anexo-I 4956. Sponsored's protocol code: GO39942.

Sponsored by: F.Hoffmann-La Roche Ltd. Signed date: 21/06/2018

**Canales Albendea MA.** (R-CHP) en comparación con Rituximab y Chop (R-Chop) en pacientes con linfoma difuso de células grandes tipo B no tratado anteriormente. Type: Clinical Trial, phase III.

HULP code: 4956. Sponsored's protocol code: GO39942.

Sponsored by: F.Hoffmann-La Roche Ltd. Signed date: 01/03/2018

**Canales Albendea MA.** Ensayo de fase I/II, multicéntrico, sin enmascaramiento para evaluar la seguridad y la farmacocinética de dosis crecientes de BTCT4465A en monoterapia y en combinación con Atezolizumab en pacientes con linfoma no Hodgkiniano de linfocitos B y leucemia linfocítica crónica recidivantes o resistentes. Type: Clinical Trial, phase I.

HULP code: 5151. Sponsored's protocol code: GO29781.

Sponsored by: Genentech Inc. Signed date: 05/12/2018

**Canales Albendea MA.** Estudio de fase 2B aleatorizado, abierto y de dos grupos, de Selinexor (KPT-330) en asociación con Dexametasona (SEL-DEX) a dosis bajas en pacientes con linfoma difuso de células B grandes (LDCBG). Type: Clinical Trial, phase II.



## 3.5 Cancer and Human Molecular Genetics Area



HULP code: Anexo-I 4305. Sponsored's protocol code: KCP-330-009.

Sponsored by: Karyopharm Therapeutics Inc. Signed date: 26/07/2018

**Canales Albendea MA.** Estudio de fase IB/II, abierto para evaluar la seguridad y la farmacocinética de GDC-0199 (ABT-199) en combinación con Rituximab (R) o Obinutuzumab (G) más Ciclofosfamida, Doxorubicina, Vincristina y Prednisona (CHOP) en pacientes con linfoma no Hodgkin. Type: Clinical Trial, phase Ib.

HULP code: Anexo-II 4354. Sponsored's protocol code: GO27878.

Sponsored by: Kite Pharma Inc. Signed date: 26/10/2018

**Canales Albendea MA.** Estudio de fase IB/II para evaluar la seguridad, tolerancia y actividad antitumoral de Polatuzumab Vedotin (DCDS4501A) en combinación con Rituximab (R) u Obinutuzumab (G) más Bendamustina (B), en pacientes con linfoma folicular o linfoma difuso de células. Type: Clinical Trial, phase I.

HULP code: Anexo-I 4456. Sponsored's protocol code: GO29365.

Sponsored by: F.Hoffmann-La Roche Ltd. Signed date: 19/02/2018

**Canales Albendea MA.** Estudio de fase II, abierto, de 2 cohortes y multicéntrico de INCB050465, un inhibidor de PI3K $\delta$ , en linfoma de células del manto en recidiva o resistente al tratamiento, previamente tratado con o sin un inhibidor de la BTK (Citaldel-205). Type: Clinical Trial, phase II.

HULP code: Anexo-I 4949. Sponsored's protocol code: INCB 50465-205.

Sponsored by: Incyte Corporation. Signed date: 16/10/2018

**Canales Albendea MA.** Estudio de fase II, abierto, de 2 Cohortes y multicéntrico de INCB050465, un inhibidor de PI3K $\delta$ , en linfoma de células del manto en recidiva o resistente al tratamiento, previamente tratado con o sin un inhibidor de la BTK (Citaldel-205). Type: Clinical Trial, phase II.

HULP code: 4949. Sponsored's protocol code: INCB 50465-205.

Sponsored by: Incyte Corporation. Signed date: 05/03/2018

**Canales Albendea MA.** Estudio en fase II de TAK-659 en pacientes con linfoma difuso de células B grandes recidivante o resistente después de dos o más líneas previas de quimioterapia. Type: Clinical Trial, phase II.

HULP code: Anexo-I 4928. Sponsored's protocol code: C34004.

Sponsored by: Millennium Pharmaceuticals Inc. Signed date: 10/04/2018

**Canales Albendea MA.** Estudio en fase II multicéntrico, estudio abierto de INCB050465, un inhibidor PI3K $\delta$ , en el tratamiento del linfoma folicular recidivante o resistente (CITADEL-203). Type: Clinical Trial, phase II.

HULP code: 4939. Sponsored's protocol code: INCB 50465-203.

Sponsored by: Incyte Corporation. Signed date: 01/03/2018

**de Paz Arias R.** Estudio clínico de fase 2, aleatorizado, controlado y abierto para comparar la eficacia y la seguridad de Pevonedistat más Azacitidina frente a Azacitidina en monoterapia en pacientes con síndromes mielodisplásicos de alto riesgo, leucemia mielomonocítica crónica y leucemia mielógena aguda pobre en blastos. Type: Clinical Trial, phase II.

HULP code: Anexo-I 4571. Sponsored's protocol code: Pevonedistat-2001.

Sponsored by: Millennium Pharmaceuticals Inc. Signed date: 14/03/2018

**de Paz Arias R.** Estudio clínico de fase 3, abierto, aleatorizado y controlado de Pevonedistat más Azacitidina frente a Azacitidina en monoterapia como tratamiento de primera línea en pacientes con síndromes mielodisplásicos de alto riesgo, leucemia mielomonocítica crónica. Type: Clinical Trial, phase III.

HULP code: 4950. Sponsored's protocol code: PEVONEDISTAT-3001.

Sponsored by: Millennium Pharmaceuticals Inc. Signed date: 22/02/2018

**de Paz Arias R.** Estudio de extensión abierto del tratamiento de Bosutinib para pacientes con leucemia mieloide crónica (LMC) que han participado previamente en los Estudios de Bosutinib B1871006 o B1871008. Type: Clinical Trial, phase III.

HULP code: Anexo-I 3925. Sponsored's protocol code: B1871040.

Sponsored by: Pfizer Inc. Signed date: 19/03/2018

**de Paz Arias R.** Estudio fase III, prospectivo, aleatorizado, abierto, con dos brazos de tratamiento, para evaluar la tasa de remisión libre de tratamiento (RLT) en pacientes con LMC cromosoma filadelfia positivo, después de dos duraciones distintas de tratamiento de consolidación con Nilotinib 300 mg BID. Type: Clinical Trial, phase III.

HULP code: Anexo-I 3831. Sponsored's protocol code: CAMN107AIC05.

Sponsored by: Novartis Farmaceutica S.A. Signed date: 23/04/2018

**de Paz Arias R.** Estudio multicéntrico, de un único brazo, de remisión libre de tratamiento de Nilotinib, en pacientes con leucemia mieloide crónica en fase crónica con BCR-ABL1 positivo, que han alcanzado un estado de enfermedad residual mínima (ERM) duradera con tratamiento. Type: Clinical Trial, phase II.

HULP code: Anexo-II 3807. Sponsored's protocol code: CAMN107I2201.

Sponsored by: Novartis Farmaceutica S.A. Signed date: 12/01/2018

**Gómez Prieto P. A** phase II trial of combined SGN-35 (Brentuximab vedotin) therapy with Cyclophosphamide, Procarbazine, Prednisone, Etoposide and Mitoxantrone (BREP) in older patients with untreated Hodgkin lymphoma (HL). Type: Clinical Trial, phase I.

HULP code: 5009. Sponsored's protocol code: BrEPEM-LH-22017.

Sponsored by: Gel-Tamo. Signed date: 01/06/2018

**Morado Arias M.** Estudio en fase 3, aleatorizado, controlado con placebo y doble ciego para evaluar la eficiencia y la seguridad de AG-348 en sujetos adultos con deficiencia de piruvato cinasa (PK) que no reciben transfusiones periódicamente. Type: Clinical Trial, phase III.

HULP code: 5077. Sponsored's protocol code: AG348-C-006.

Sponsored by: Agios Pharmaceuticals, Inc. Signed date: 04/09/2018

**Morado Arias M.** Registro longitudinal internacional de deficiencia de piruvato cinasa o piruvato quinasa. Type: EPA-SP.

HULP code: PI-3316. Sponsored's protocol code: AG348-C008.

Sponsored by: Agios Pharmaceuticals, Inc. Signed date: 24/07/2018

### Patents and trademarks

**Campanero García MR, Molina Privado I,** inventors; CSIC, UAM, assignees. Method for identifying patients with sporadic Burkitt's lymphoma, identification method and use of compounds for the treatment of sporadic Burkitt's lymphoma. P200702595, PCT/ES2008/070182; 2007 October 03.

**Molina Privado I, Campanero García MR, Rodríguez Martínez M,** inventors; CSIC, UAM, assignees. Method for the differential diagnosis between Burkitt lymphoma and diffuse large B-cell lymphoma. P200900651; 2009 March 09.

**Zapata Hernández JM, Pérez Chacón G,** inventors; CSIC, UAM, assignees. Use of an indolic compound with nucleophilic substituents at C3 and the dimeric variants thereof in the production of a pharmaceutical composition that can be used in the treatment of B-lymphoid neoplasms. P201331397, PCT/ES2014/070726; 2013 September 25.

